

## (19) 焼結脱硫剤による溶銑脱硫機構について (溶銑炉外脱硫剤の開発-II)

川崎製鉄 技術研究所

大井 浩 ○ 江島栄夫  
中戸 参

1. 緒言 LSP円柱による溶銑脱硫の際の溶銑から脱硫剤へのSの移動速度、ならびに脱硫剤中のSの分布状況を観測し、その脱硫反応の機構について考察した。

2. 実験方法 前報に述べた結果より脱硫剤組成をCaO 90%, CaF<sub>2</sub> 10%とした。前報と同様に回転円柱法を用いて脱硫速度を測定し、溶銑温度や円柱の回転速度などの影響を調査した。また、実験を終了した一部の円柱試験片について表面から中心にかけてのSの分布状況を光学および電子顕微鏡、EPMA、ならびに段削り試験により調査した。

## 3. 実験結果

(1) 脱硫速度は、(i)溶銑温度が高くなると増大する、(ii)円柱の回転速度の影響をほとんど受けない、(iii)LSPの焼結温度が高くなると増大する。

(2) 脱硫後のLSP円柱中のSの分布について；(i)LSP円柱表面から溶銑側へ成長したと見られる多孔質の脱硫生成物(CaS)層が存在する、(ii)LSP円柱表面から中心へCaO-CaF<sub>2</sub>共晶相を通りSが拡散しているのが認められた、(iii)マスバランス計算によれば、溶銑からLSPへ移動したS量の約93%が脱硫生成物層に存在している、(iv)脱硫生成物層の厚さd(cm)と時間t(sec)との間には図1に示すように放物線関係が認められた、(v)脱硫生成物層の成長速度は温度が高くなると増大する。

4. 考察 本実験の結果からLSPによる溶銑脱硫の速度がLSP表面から溶銑側への脱硫生成物の成長速度に依存することが明らかである。さらに、この層の成長が放物線則に従うことは、金属の酸化における酸化物層成長の放物線則との類似性から、脱硫反応の律速過程が脱硫生成物層中の反応に関与する物質(O, S, Caなど)の拡散であることを示唆している。脱硫生成物層が多孔質(気孔率49%)な多結晶体であることから、脱硫生成物層内で、LSP側へのSの拡散≈溶銑側へのOの拡散、溶銑側へのCaの拡散を仮定すれば、LSP表面から溶銑-脱硫生成物層界面へのCaの見掛けの拡散定数は(1)式で与えられる。

K

$$D_{ca,app} = \frac{K}{2 \left\{ \sqrt{1 + 2 \frac{C_i}{C^*}} - 1 \right\}} \quad (1)$$

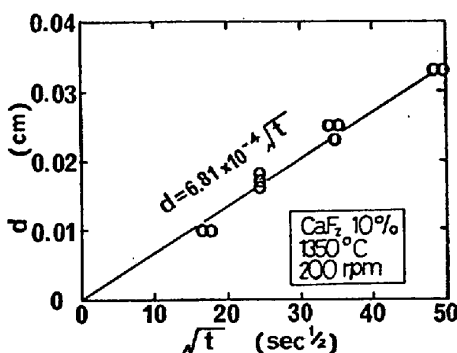


図1 脱硫生成物層の厚さと時間との関係

ここで、Kは脱硫生成物層の成長速度定数(cm<sup>2</sup>·sec<sup>-1</sup>)、C<sub>i</sub>は脱硫生成物層とLSP層の界面におけるLSP側のCaの濃度(mol·cm<sup>-3</sup>)、C\*は脱硫生成物層中のCaの平均濃度(mol·cm<sup>-3</sup>)である。今、Kとして実測値  $4.6 \times 10^{-7} \text{cm}^2 \text{sec}^{-1}$  を、C\*として  $1.77 \times 10^{-2} \text{mol} \cdot \text{cm}^{-3}$  を、C<sub>i</sub>としては前報に示したように脱硫速度定数がLSPの組成および不純物の影響を明らかに受けることより、(i)LSP中にフリーのCaOとして存在するCaの濃度  $3.15 \times 10^{-2} \text{mol} \cdot \text{cm}^{-3}$ 、(ii)LSPのCaO-CaF<sub>2</sub>共晶相にフリーのCaOとして存在するCaの濃度  $2.95 \times 10^{-3} \text{mol} \cdot \text{cm}^{-3}$  を用い(1)式により見掛けのD<sub>ca</sub>を計算すると(i)の場合  $3.2 \times 10^{-7} \text{cm}^2 \cdot \text{sec}^{-1}$  が、(ii)の場合  $4.5 \times 10^{-6} \text{cm}^2 \cdot \text{sec}^{-1}$  が得られた。これらの値は同温度におけるCaO単結晶中のD<sub>ca</sub> ≈  $5 \times 10^{-12} \text{cm}^2 \cdot \text{sec}^{-1}$  と比較すると  $10^5 \sim 10^6$  倍大きい。

1) Gupta Y.P. et al, J. phys. Chem. Solids, 28 (1967), 811